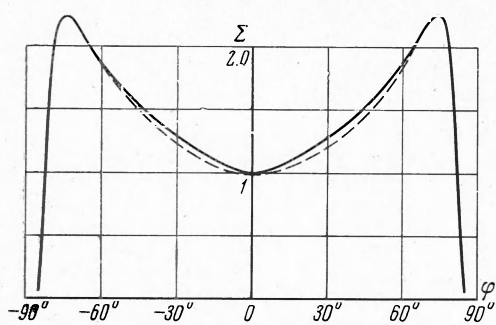


О ДЕФОРМАЦИИ ПОВЕРХНОСТЕЙ, УНОСИМЫХ ПОД ДЕЙСТВИЕМ ИОННОЙ БОМБАРДИРОВКИ

Б. М. Калмыков, Ю. А. Рыжов
(Москва)

Приведены методы и некоторые результаты расчета изменений формы поверхности однородного и изотропного тела под действием ионной бомбардировки. Указывается на возможные ошибки применявшейся [1] экспериментальной методики определения зависимости интенсивности уноса от угла падения ионного пучка.

Интенсивность уноса массы под действием ионной бомбардировки определяется коэффициентом распыления S [ам / ион], равным количеству атомов материала, выбитых одним бомбардирующими ионом. Существующие экспериментальные данные показывают, что при энергиях порядка кэв для поликристаллических материалов коэффициент распыления существенно зависит от угла φ , падения ионов на поверхность.



Фиг. 1

Типичная зависимость $\Sigma(\varphi) = S(\varphi) / i_0 S_0$, зависимость относительного коэффициента распыления меди ионами Ar^+ при энергии 6 кэв от угла падения ионного пучка φ , отсчитанного от нормали к поверхности, представляющая собой четную функцию, приведена на фиг. 1. Представляет интерес задача об изменении формы тела по времени при действии на него однородного (по направлению, энергии и плотности) потока ионов.

Пусть поток ионов плотностью i_0 [ион / см² сек], движущийся в направлении отрицательной оси y (фиг. 2), падает на поверхность тела, начальная форма которого описывается кривой $y_0(x)$. При плотностях

ионного потока, имеющих место в практике катодного распыления, режим движения ионного потока свободно-молекулярный, а потому различия пространственной осесимметричной задачи с плоской в интересующем нас плане здесь не будет. При известной зависимости $s(\varphi)$ скорость уноса материала по нормали к поверхности в точке P будет равна

$$W_n = -\frac{i_0 \cos \varphi S(\varphi)}{N_0} = -\frac{i_0 S_0}{N_0} \sum(\varphi) \cos \varphi (S_0 = S(0))$$

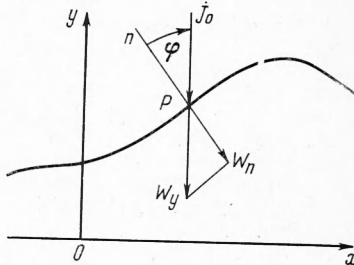
где N_0 [ам / см³] — атомная плотность бомбардируемого материала, φ — угол, составленный нормалью к поверхности в точке P с осью y . Тогда скорость уноса по оси y

$$W_y = \frac{W_n}{\cos \varphi} = -\frac{i_0 S_0}{N_0} \sum(\varphi) \quad (1)$$

$$y(x, \tau) = y_0(x) + \int_0^\tau W_y(x, \tau) d\tau \quad (2)$$

где τ — время. Подставляя (1) в (2) и дифференцируя по времени, получим:

$$\frac{\partial y}{\partial \tau} = -\frac{i_0 S_0}{N_0} \sum(\varphi) \quad (3)$$



Фиг. 2

В дальнейшем целесообразно представить зависимость Σ как функцию $\tan \varphi$, т. е. $\partial y / \partial x$. Тогда, дифференцируя (3) по x , получим

$$\frac{\partial^2 y}{\partial \tau \partial x} = -\frac{i_0 S_0}{N_0} \frac{\partial \Sigma}{\partial (\partial y / \partial x)} \frac{\partial^2 y}{\partial x^2}$$

Это нелинейное дифференциальное уравнение гиперболического типа заменой приводится к виду

$$\frac{\partial f}{\partial t} = -\frac{\partial \Sigma}{\partial f} \frac{\partial f}{\partial x} \quad \left(i = \frac{\tau i_0 S_0}{N_0}, f = \frac{\partial y}{\partial x} \right) \quad (4)$$

Зависимость $\Sigma(\varphi)$, а следовательно, и $\Sigma(f)$ заданы, поэтому уравнение (4) можно представить в следующем виде

$$\frac{\partial f}{\partial t} = \xi(f) \frac{\partial f}{\partial x} \quad (\xi(f) = -\frac{\partial \Sigma}{\partial f}) \quad (5)$$

Решение этого уравнения, удовлетворяющее начальному условию

$$f(x, 0) = \frac{\partial y_0}{\partial x} = F(x) \quad (6)$$

можно записать в неявном виде

$$V(x, t, f) = f - F[x + t\xi(f)] = 0 \quad (7)$$

Действительно,

$$\frac{\partial V}{\partial f} = 1 - F't \frac{\partial \xi}{\partial f}, \quad \frac{\partial V}{\partial x} = -F', \quad \frac{\partial V}{\partial t} = -F'\xi(f)$$

И тогда

$$\frac{\partial f}{\partial t} - \frac{\partial V / \partial t}{\partial V / \partial f} = \frac{-F'\xi(f)}{1 - F't \partial \xi / \partial f}, \quad \xi(f) \frac{\partial f}{\partial x} = \xi(f) \frac{\partial V / \partial x}{\partial V / \partial f} = \frac{-F'\xi(f)}{1 - F't \partial \xi / \partial f} = \frac{\partial f}{\partial t}$$

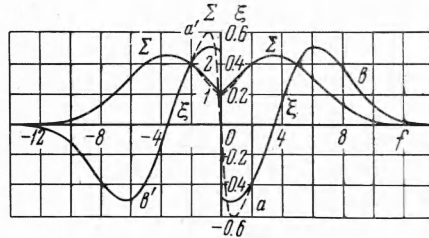
Для зависимости $\Sigma(\varphi)$, изображенной на фиг. 1, вид функций $\Sigma(f)$ и $\xi(f)$ показан на фиг. 3.

Точность существующих экспериментальных данных по зависимости коэффициента эрозии от угла падения ионного пучка не позволяет с необходимой достоверностью определить характер функции $\xi(f)$ при f , близких к нулю.

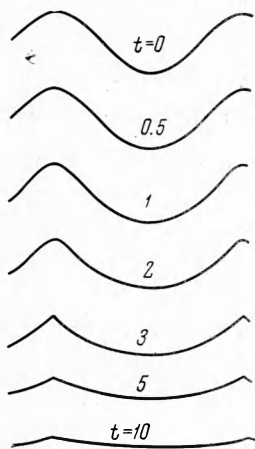
Так, если предположить, что при малых φ зависимость $\Sigma(\varphi) \sim (\cos \varphi)^{-1}$ (см. например, [2]), то $\xi(f) \rightarrow 0$ при $f \rightarrow 0$. Экспериментальные зависимости $\Sigma(f)$ хорошо аппроксимируются функцией вида $\exp\{a|f| - bf^2\}$, а в этом случае $\xi(0)$ будет конечным и двузначным. На фиг. 3 пунктиром показаны зависимости $\Sigma(f)$ и $\xi(f)$ для случая, когда $\partial \Sigma / \partial \varphi = 0$ при $\varphi = 0$ ($\Sigma(\varphi) \sim (\cos \varphi)^{-1}$ при малых φ).

Видно, что заметное изменение функции $\xi(f)$ приводит к отклонениям в зависимости $\Sigma(f)$, не превышающим разброс экспериментальных точек в такого рода исследованиях.

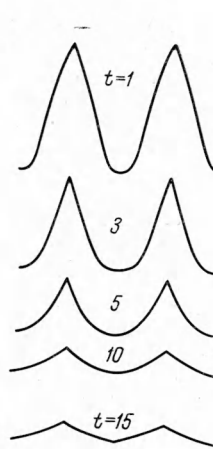
Изложенным выше методом были рассчитаны изменения формы некоторых простейших поверхностей в процессе ионной бомбардировки. Использовалась зависи-



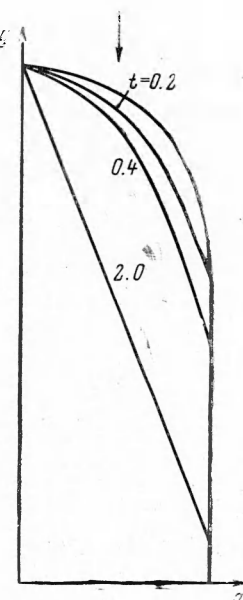
Фиг. 3



Фиг. 4



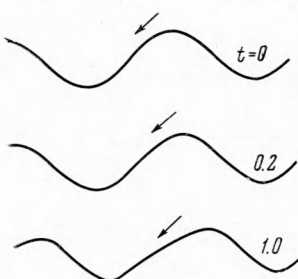
Фиг. 5



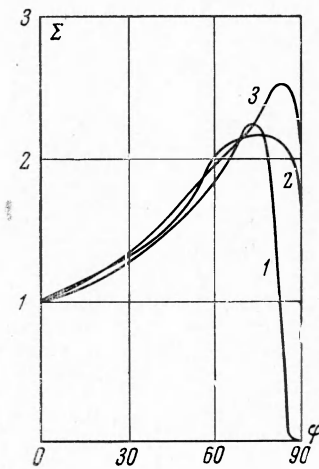
Фиг. 6

мость $\xi(f)$, показанная на фиг. 3 пунктиром. Полученное решение не учитывает взаимодействия распыляемых поверхностей, поэтому применимо, строго говоря, к выпуклым поверхностям. По последовательным изменениям начальных форм тела $y_0 = \cos x$ и $y_0 = 4 \cos x$ в процессе ионной бомбардировки на фиг. 4 и 5 соответственно видно, что при однородной и изотропной структурах бомбардируемого материала происходит выравнивание поверхности.

Для оценки влияния вида зависимости $\xi(f)$ (при малых f) на деформацию поверхности во время ионной бомбардировки были проведены расчеты бомбардировки цилиндра с полусферическим закруглением $y_0 = \sqrt{1-x^2}$ при использовании обеих функций $\xi(f)$, показанных на фиг. 3. Результаты приведены на фиг. 6. Отличие результатов расчета по $\partial S / \partial \varphi = 0$ при $\varphi = 0$ и по $\partial S / \partial \varphi \neq 0$ при $\varphi = 0$ не выходят за рамки точности счета. Видно, что в обоих случаях форма поверхности стремится к конической $\lim |f| = 3.5$ при $t \rightarrow \infty$, что соответствует f , при котором $\xi(f) = 0$, т. е. унос максимальен (Σ_{\max}). На фиг. 7 показано изменение формы поверхности $y_0 = \cos x$,



Фиг. 7



Фиг. 8

бомбардируемой под углом $\varphi_0 = 40^\circ$ к оси x . Видна тенденция образования гребней, аналогичных отмеченным в работе [3].

В экспериментальных исследованиях Венера [1] зависимости $S(\varphi)$ определялись по уносу сферической модели, причем предполагалось, что за время эксперимента поверхность с данной координатой x не сильно меняет угол встречи с ионным потоком, а потому $\Sigma(\varphi) \sim \Delta y(\varphi) / \Delta y(0)$. В работе [1] не указывается точное значение j_0 , при котором проводились исследования, поэтому определить характерные приведенные времена t в этих экспериментах не представлялось возможным. Однако, исходя из указания автора, что j_0 было порядка $1 \text{ ma} \cdot \text{cm}^{-2}$, можно принять $t = 0.2 \div 0.4$. На фиг. 8 сравнивается зависимость $\Sigma(\varphi)$, заложенная в расчет уноса полусфера по предлагаемой методике, кривая (1), с зависимостями, полученными обработкой результатов расчета форм поверхности при $t = 0.2$ и 0.4 по методике Венера [1], кривые (2) и (3) соответственно. Видно, что такая обработка приводит к ошибке как в определении значений $\Sigma(\varphi)$, так и в оценке угла φ , соответствующего максимуму этой зависимости.

Авторы благодарят Д. С. Стриженова и И. И. Шкарбана за полезные обсуждения.

Поступила 19 VII 1966

ЛИТЕРАТУРА

1. Wehnert G. K. Influence of the Angle of Incidence on Sputtering Yields J. Appl. Phys., 1959, 30, 1762.
2. Рол П. К., Флюйт И. М., Кистемакер И. Распыление меди при бомбардировке ионами в диапазоне энергий 5—25 кэв. Сб. «Электростатические реактивные двигатели», Изд. «Мир», 1964.
3. Ballagin M., Hildebrand F. Die Einwirkung energiereicher Ionen auf Metalloberflächen J. Phys. Chem. Solids., 1961, vol. 20, No. 1/2, p. 138—145.